



第6章 线性反馈系统的时间域综合

6.1 状态反馈和输出反馈

6.2 状态反馈极点配置

6.3 全维状态观测器



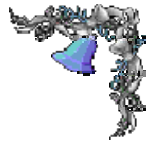


在控制理论中，反馈结构是系统设计的主要方式。

对输入输出模型，只能采用输出反馈；

状态空间模型能够提供系统内部的状态信息，所以，能够采用状态反馈，对系统进行更细致的控制。





系统的综合：已知系统的结构和参数，设计控制规律 u ，使系统在其作用下的行为满足所给出的期望的性能指标。

性能指标可分为非优化型性能指标和优化型性能指标。





6.1 状态反馈和输出反馈

一 两种常用反馈结构

1 状态反馈

设系统为 $\dot{x} = Ax + Bu; y = Cx;$

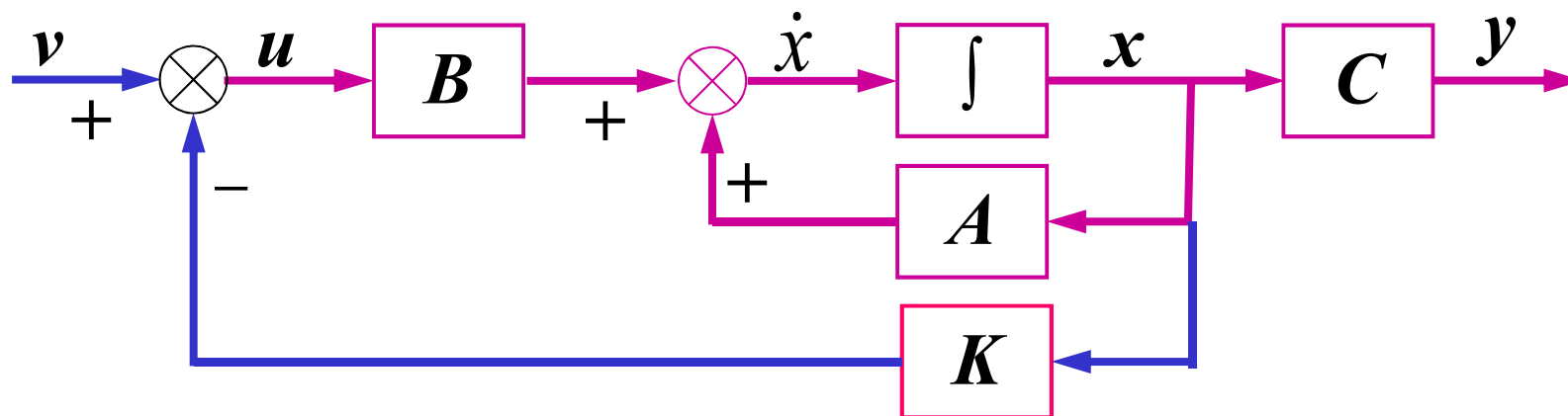
引入状态的线性反馈 $u = v - Kx。$

线性状态反馈，
简称状态反馈

式中 v 是 p 维参考输入； $K \in R^{p \times n}$ 是 $p \times n$ 维定常反馈矩阵。



状态反馈系统的结构图



状态反馈(闭环)系统的状态空间描述为:

$$\dot{x} = (A - BK)x + Bv, \quad y = Cx$$

特征多项式:

$$\alpha(s) = \det(sI - A + BK)$$

传递函数矩阵:

$$G_K(s) = C(sI - A + BK)^{-1}B$$



2. 输出反馈

当将系统的控制量 u 取为输出 y 的线性函数

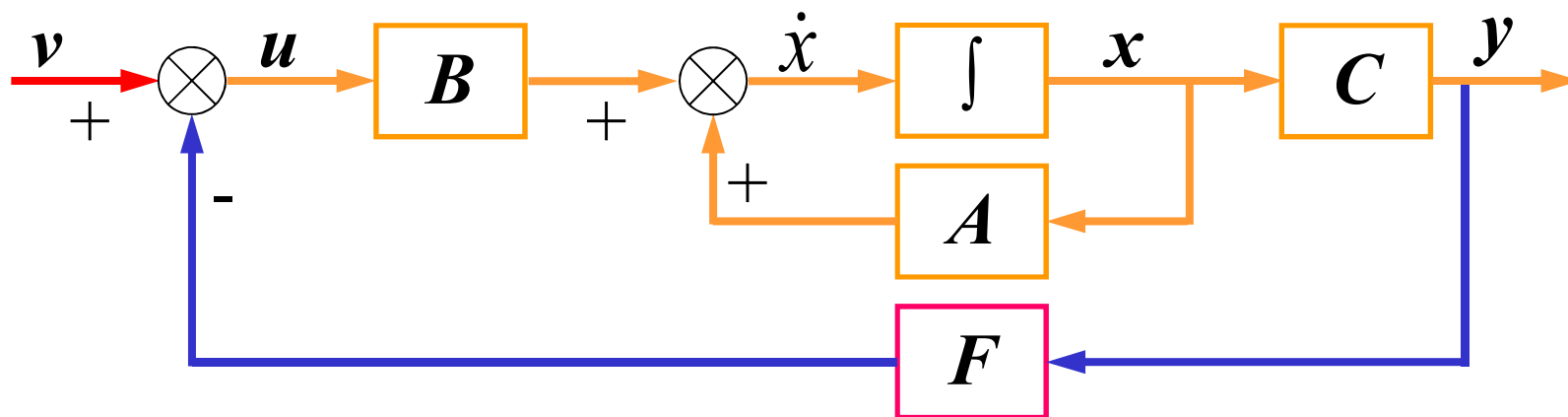
$$u = v - Fy = v - FCx$$

时，称之为线性输出反馈，常简称为输出反馈。

式中： v 是 p 维参考输入向量； F 是 $p \times q$ 维实反馈增益矩阵。



输出反馈系统的结构图



输出反馈(闭环)系统的状态空间描述为:

$$\dot{x} = (A - BFC)x + Bv, \quad y = Cx$$

特征多项式:

$$\alpha(s) = \det(sI - A + BFC)$$

传递函数矩阵:

$$G_F(s) = C(sI - A + BFC)^{-1}B$$



3. 状态反馈结构与输出反馈结构比较

(1)反馈属性上: 状态反馈是一种完全的系统信息反馈, 输出反馈则是系统结构信息的一种不完全反馈。

(2)反馈功能上: 状态反馈在功能上要远优于输出反馈。

(3)反馈实现上: 输出反馈要优于状态反馈。





二. 反馈结构对系统性能的影响

1. 对系统可控性和可观测性的影响

定理：状态反馈不改变系统的可控性，
但可能改变系统的可观测性。

证明：证可控性不变。

$$[(sI - A) \quad B] = [(sI - A + BK) \quad B] \begin{bmatrix} I_n & 0 \\ -K & I_p \end{bmatrix};$$

显然对于任意的 K 阵以及所有的 s ，有

$$\text{rank} [(sI - A + BK) \quad B] = \text{rank} [(sI - A) \quad B]$$

根据系统可控性的PBH秩判据可知，其可控性在状态反馈前后保持不变。



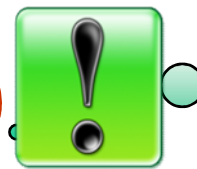
再来证状态反馈系统，不一定能保持可观性。由于状态反馈改变系统的极点(特征值)，若发生零点与极点抵消情况，则改变系统的可观性。

例：已知可控可观测系统

$$\dot{x} = \begin{bmatrix} 1 & 2 \\ 0 & 3 \end{bmatrix} x + \begin{bmatrix} 0 \\ 1 \end{bmatrix} u, \quad y = \begin{bmatrix} 1 & 1 \end{bmatrix} x$$

原系统的传递函数：

$$G(s) = \frac{s+1}{(s-1)(s-3)}$$



没有零极
点对消！

若采用的状态反馈是：

$$u = v - Kx = v - [0 \quad 4]x$$

则闭环系统的系统矩阵为:

$$A - bK = \begin{bmatrix} 1 & 2 \\ 0 & 3 \end{bmatrix} - \begin{bmatrix} 0 \\ 1 \end{bmatrix} \begin{bmatrix} 0 & 4 \end{bmatrix} = \begin{bmatrix} 1 & 2 \\ 0 & -1 \end{bmatrix}$$

则闭环系统为:

$$\dot{x} = \begin{bmatrix} 1 & 2 \\ 0 & -1 \end{bmatrix} x + \begin{bmatrix} 0 \\ 1 \end{bmatrix} v, \quad y = \begin{bmatrix} 1 & 1 \end{bmatrix} x$$

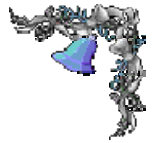
闭环系统可观测性判别矩阵为:

$$Q_o = \begin{bmatrix} 1 & 1 \\ 1 & 1 \end{bmatrix}; \quad \text{rank } Q_o = 1 < 2;$$

所以闭环系统是不完全可观测, 其传递函数为

$$G_K(s) = \frac{s+1}{(s-1)(s+1)} = \frac{1}{s-1}$$

有零极点
对消!!



定理：输出反馈不改变系统的可控性和可观测性。

证明：证可控性不变。

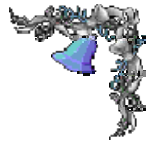
$$\begin{bmatrix} (sI - A) & B \end{bmatrix} = \begin{bmatrix} (sI - A + BFC) & B \end{bmatrix} \begin{bmatrix} I_n & 0 \\ -FC & I_p \end{bmatrix}$$

可见对于任意的 F 阵以及所有的 s ，有

$$\text{rank} \begin{bmatrix} (sI - A + BFC) & B \end{bmatrix} = \text{rank} \begin{bmatrix} (sI - A) & B \end{bmatrix}$$

根据系统可控性的**PBH**秩判据可知，其可控性在输出反馈前后保持不变。





证可观性不变：

$$\begin{bmatrix} C \\ sI - A \end{bmatrix} = \begin{bmatrix} I_q & 0 \\ -BF & I_n \end{bmatrix} \begin{bmatrix} C \\ sI - A + BFC \end{bmatrix};$$

可见对于任意的 F 阵以及所有的 s ，有

$$\text{rank} \begin{bmatrix} C \\ sI - A + BFC \end{bmatrix} = \text{rank} \begin{bmatrix} C \\ sI - A \end{bmatrix}$$

根据系统可观测性的**PBH**秩判据可知，其可观测性在输出反馈前后保持不变。





2. 反馈结构对系统稳定性的影响

状态反馈和输出反馈都改变系统的特征值，故都影响系统的稳定性。

镇定：加入反馈，使得通过反馈构成的闭环系统成为稳定系统，称之为镇定。

可镇定性：如果采用反馈措施能够使闭环系统稳定，
称该系统是反馈可镇定的。

由于状态反馈具有许多优越性，而且输出反馈总可以找到与之性能等同的状态反馈系统，故在此只讨论状态反馈的可镇定性问题。





第6章线性反馈系统的时间域综合



对于线性定常受控系统

$$\dot{\mathbf{x}} = \mathbf{A}\mathbf{x} + \mathbf{B}\mathbf{u}$$

如果可以找到状态反馈控制律

$$\mathbf{u} = \mathbf{v} - \mathbf{K}\mathbf{x}$$

使得通过反馈构成的闭环系统

$$\dot{\mathbf{x}} = (\mathbf{A} - \mathbf{B}\mathbf{K})\mathbf{x} + \mathbf{B}\mathbf{v}$$

是渐近稳定的，即 $(\mathbf{A} - \mathbf{B}\mathbf{K})$ 的特征值均具有负实部，则称系统实现了状态反馈镇定。



定理：当线性定常系统的不可控部分渐近稳定时，系统是状态反馈可镇定的。



证明： 由于系统 $\{A, B\}$ 不完全可控，其结构分解为

$$\bar{A} = P A P^{-1} = \left[\begin{array}{c|c} \bar{A}_c & \bar{A}_{12} \\ \hline 0 & \bar{A}_{\bar{c}} \end{array} \right]; \quad \bar{B} = P B = \left[\begin{array}{c} \bar{B}_c \\ 0 \end{array} \right];$$

对于任意的状态反馈矩阵 $\bar{K} = [\bar{K}_c \quad \bar{K}_{\bar{c}}]$ ，可导出

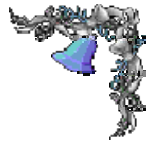
$$\det(s I - A + B K) = \det(s I - \bar{A} + \bar{B} \bar{K})$$

$$= \det(s I_r - \bar{A}_c + \bar{B}_c \bar{K}_c) \cdot \det(s I_{n-r} - \bar{A}_{\bar{c}});$$

其中： $K = \bar{K} P$; $\bar{K} = K P^{-1}$

即状态反馈不能改变不可控极点，因此使闭环系统稳定的必要条件是可控部分是渐近稳定的。



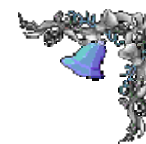


考虑系统

$$\begin{bmatrix} \dot{x}_1 \\ \dot{x}_2 \\ \dot{x}_3 \end{bmatrix} = \begin{bmatrix} 1 & 0 & 0 \\ 0 & -2 & 0 \\ 0 & 0 & -3 \end{bmatrix} \begin{bmatrix} x_1 \\ x_2 \\ x_3 \end{bmatrix} + \begin{bmatrix} 1 \\ 0 \\ 2 \end{bmatrix} u$$

能否通过状态反馈镇定？请说明理由。



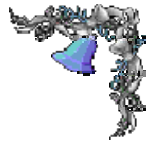


考虑系统

$$\dot{\mathbf{x}} = \begin{bmatrix} 0 & 1 & 0 \\ 0 & 0 & 1 \\ 0 & 0 & -3 \end{bmatrix} \mathbf{x} + \begin{bmatrix} 0 \\ 0 \\ 1 \end{bmatrix} u, \quad \mathbf{y} = \begin{bmatrix} 1 & 1 & 0 \end{bmatrix} \mathbf{x}$$

- (1) 求出系统的传递函数
- (2) 引入状态变量的线性反馈，反馈增益矩阵为 $K = [4 \ 8 \ 2]$ ，
反馈后闭环系统的可控性和可观性是否改变，请说明理由。





6.2 系统的极点配置(※)

- 利用状态反馈和输出反馈使闭环系统的极点位于所希望的极点位置，称为极点配置。状态反馈和输出反馈都能配置闭环系统的极点。
- 状态反馈 K 不能改变不可控部分的极点，但能够任意配置可控部分的极点。
- 输出反馈 F 也只能配置可控部分的极点，但不一定能实现期望极点的任意配置；不能将极点配置到系统的零点处。





一 单输入系统的极点配置

1. 极点可配置条件

定理：利用状态反馈任意配置闭环极点的充分必要条件是**被控系统可控**。



例如下列系统：

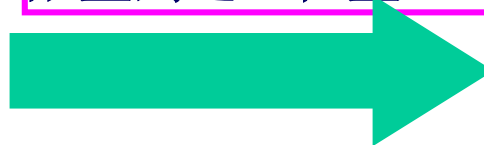
$$\dot{\mathbf{x}} = \begin{bmatrix} 2 & 1 & 0 & 0 \\ 0 & 2 & 0 & 0 \\ 0 & 0 & -1 & 0 \\ 0 & 0 & 0 & -1 \end{bmatrix} \mathbf{x} + \begin{bmatrix} 0 \\ 1 \\ 1 \\ 1 \end{bmatrix} u;$$

能否使闭环极点
配置到这些位置？

$\{-2, -2, -1, -1\}$

$\{-2, -2, -2, -2\}$

$\{-2, -2, -2, -1\}$





证明：以单输入系统来证明该定理。

1) 充分性：若系统完全可控，则通过非奇异线性变换

$\bar{x} = Px$ 可变换为可控标准型： $\dot{\bar{x}} = \bar{A}\bar{x} + \bar{b}u$

$$\bar{A} = PAP^{-1} = \begin{bmatrix} 0 & 1 & 0 & \cdots & 0 \\ 0 & 0 & 1 & \ddots & \vdots \\ \vdots & \vdots & \ddots & \ddots & 0 \\ 0 & 0 & \cdots & 0 & 1 \\ -a_0 & -a_1 & \cdots & -a_{n-2} & -a_{n-1} \end{bmatrix}; \quad \bar{b} = Pb = \begin{bmatrix} 0 \\ 0 \\ \vdots \\ 0 \\ 1 \end{bmatrix};$$

引入状态反馈：

$$u = v - kx = v - kP^{-1}\bar{x} = v - \bar{k}\bar{x}$$

其中：

$$\bar{k} = kP^{-1} = \begin{bmatrix} \bar{k}_0 & \bar{k}_1 & \cdots & \bar{k}_{n-1} \end{bmatrix}$$





则引入状态反馈后闭环系统的系统矩阵为：

$$\bar{A} - \bar{b} \bar{k} = \begin{bmatrix} 0 & 1 & 0 & \cdots & 0 \\ 0 & 0 & 1 & \ddots & \vdots \\ \vdots & \vdots & \ddots & \ddots & 0 \\ 0 & 0 & \cdots & 0 & 1 \\ \underline{-a_0 - \bar{k}_1} & \underline{-a_1 - \bar{k}_2} & \underline{-a_2 - \bar{k}_3} & \cdots & \underline{-a_{n-1} - \bar{k}_n} \end{bmatrix}$$

闭环特征方程为：

$$\begin{aligned} & \det(sI - \bar{A} + \bar{b} \bar{k}) \\ &= s^n + (a_{n-1} + \bar{k}_{n-1})s^{n-1} + \cdots + (a_1 + \bar{k}_1)s + (a_0 + \bar{k}_0) = 0 \end{aligned}$$





闭环特征方程为：

$$\begin{aligned} & \det(sI - \bar{A} + \bar{b} \bar{k}) \\ &= s^n + (a_{n-1} + \bar{k}_{n-1})s^{n-1} + \cdots + (a_1 + \bar{k}_1)s + (a_0 + \bar{k}_0) = 0 \end{aligned}$$

该 n 阶特征方程中的 n 个系数，可通过 $\bar{k}_0, \bar{k}_1, \dots, \bar{k}_{n-1}$ 来独立设置，也就是说 $(\bar{A} - \bar{b} \bar{k})$ 的特征值可以任意选择，即系统的极点可以任意配置。

2) 必要性：如果系统 (A, b) 不可控，说明系统的有些状态将不受 u 的控制，则引入状态反馈时就不可能通过控制 k 来影响不可控的极点。





二. 单输入—单输出系统的极点配置算法(※)

给定可控系统 (A, b, c) 和一组期望的闭环特征值 $\{\lambda_1^*, \lambda_2^*, \dots, \lambda_n^*\}$, 要确定 $(1 \times n)$ 维的反馈增益向量 k , 使闭环系统矩阵 $(A - bk)$ 的特征值为 $\{\lambda_1^*, \lambda_2^*, \dots, \lambda_n^*\}$ 。

1. 通用的计算方法(※):

设 $k = [k_1 \quad k_2 \quad \dots \quad k_n]$

(1) 计算期望的特征多项式:

$$\alpha^*(s) = (s - \lambda_1^*) \cdots (s - \lambda_n^*) = s^n + a_{n-1}^* s^{n-1} + \cdots + a_1^* s + a_0^*$$





(2) 用待定系数计算闭环系统的特征多项式:

$$\alpha(s) = \det(sI - A + bk) = s^n + a_{n-1}s^{n-1} + \cdots + a_1s + a_0$$

(3) 由下列 n 个方程计算反馈矩阵 k 的元素:

$$a_{n-1} = a_{n-1}^*, \quad a_{n-2} = a_{n-2}^*, \quad \cdots, \quad a_1 = a_1^*, \quad a_0 = a_0^*$$

注意：系统完全可控，单输入系统的极点配置有唯一解；系统不完全可控，若期望极点中包含所有不可控极点，极点配置有解，否则无解。





例 已知线性定常系统状态方程为

$$\dot{x} = \begin{bmatrix} 0 & 0 & 0 \\ 1 & -6 & 0 \\ 0 & 1 & -12 \end{bmatrix} x + \begin{bmatrix} 1 \\ 0 \\ 0 \end{bmatrix} u$$

求反馈向量 k ，使系统的闭环特征值为：

$$\lambda_1 = -2, \quad \lambda_2 = -1 + j, \quad \lambda_3 = -1 - j$$

解：(1) 计算期望的特征多项式：

$$\alpha^*(s) = (s + 2)(s + 1 - j)(s + 1 + j) = s^3 + 4s^2 + 6s + 4$$

(2) 设 $k = [k_1 \quad k_2 \quad k_3]$ ，用待定系数计算闭环系统的特征多项式：



$$\alpha(s) = \det(sI - A + bk) = \det \begin{bmatrix} s + k_1 & k_2 & k_3 \\ -1 & s + 6 & 0 \\ 0 & -1 & s + 12 \end{bmatrix}$$
$$= (s + k_1)(s + 6)(s + 12) + k_3 + k_2(s + 12)$$

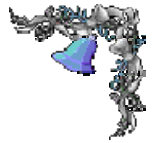
$$= s^3 + (k_1 + 18)s^2 + (18k_1 + k_2 + 72)s + 72k_1 + 12k_2 + k_3;$$

(3) 系数对应相等:

$$k_1 + 18 = 4; \quad 18k_1 + k_2 + 72 = 6; \quad 72k_1 + 12k_2 + k_3 = 4;$$

$$\text{解得: } k_1 = -14; \quad k_2 = 186; \quad k_3 = -1220;$$

$$\text{即: } k = [-14 \quad 186 \quad -1220];$$



2. 完全可控系统极点配置的规范算法

(1) 计算 A 的特征多项式:

$$\alpha(s) = \det(sI - A) = s^n + a_{n-1}s^{n-1} + \cdots + a_1s + a_0$$

(2) 计算期望的特征多项式:

$$\begin{aligned}\alpha^*(s) &= (s - \lambda_1^*)(s - \lambda_2^*) \cdots (s - \lambda_n^*) \\ &= s^n + a_{n-1}^*s^{n-1} + \cdots + a_1^*s + a_0^*\end{aligned}$$

(3) 计算(可控标准型)反馈矩阵 \bar{k} :

$$\bar{k} = [a_0^* - a_0 \quad a_1^* - a_1 \quad \cdots \quad a_{n-1}^* - a_{n-1}]$$





(4) 计算变换矩阵 P^{-1} :

$$P^{-1} = Q_c \Lambda = [\mathbf{b} \quad A\mathbf{b} \quad \cdots \quad A^{n-2}\mathbf{b} \quad A^{n-1}\mathbf{b}] \cdot \begin{bmatrix} a_1 & a_2 & \cdots & a_{n-1} & 1 \\ a_2 & \ddots & & 1 & 0 \\ \cdots & \ddots & \ddots & \ddots & 0 \\ a_{n-1} & 1 & \ddots & \ddots & \vdots \\ 1 & 0 & 0 & \cdots & 0 \end{bmatrix};$$

(5) 计算 P :

$$P = (P^{-1})^{-1};$$

(6) 计算原系统的反馈增益阵:

$$k = \bar{k}P$$





上例的规范计算方法

解：系统的可控性判别阵为：

$$Q_c = [\mathbf{b} \quad A\mathbf{b} \quad A^2\mathbf{b}] = \begin{bmatrix} 1 & 0 & 0 \\ 0 & 1 & -6 \\ 0 & 0 & 1 \end{bmatrix}; \quad \text{rank} Q_c = 3 = n$$

系统是完全可控的，满足可配置条件。

1) 系统的特征多项式为：

$$\begin{aligned} \alpha(s) &= \det(sI - A) = \det \begin{bmatrix} s & 0 & 0 \\ -1 & s+6 & 0 \\ 0 & -1 & s+12 \end{bmatrix} \\ &= s^3 + 18s^2 + 72s \end{aligned}$$





2) 系统的期望特征多项式为:

$$\alpha^*(s) = (s+2)(s+1-j)(s+1+j) = s^3 + 4s^2 + 6s + 4$$

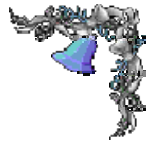
3) 计算 \bar{k} :

$$\begin{aligned}\bar{k} &= \begin{bmatrix} a_0^* - a_0 & a_1^* - a_1 & a_2^* - a_2 \end{bmatrix} \\ &= \begin{bmatrix} 4 - 0 & 6 - 72 & 4 - 18 \end{bmatrix} = \begin{bmatrix} 4 & -66 & -14 \end{bmatrix}\end{aligned}$$

4) 变换矩阵为:

$$P^{-1} = Q_c A = \begin{bmatrix} 1 & 0 & 0 \\ 0 & 1 & -6 \\ 0 & 0 & 1 \end{bmatrix} \begin{bmatrix} 72 & 18 & 1 \\ 18 & 1 & 0 \\ 1 & 0 & 0 \end{bmatrix} = \begin{bmatrix} 72 & 18 & 1 \\ 12 & 1 & 0 \\ 1 & 0 & 0 \end{bmatrix}$$





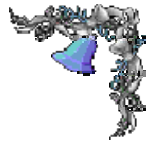
5) 求 P :

$$P = \begin{bmatrix} 72 & 18 & 1 \\ 12 & 1 & 0 \\ 1 & 0 & 0 \end{bmatrix}^{-1} = \begin{bmatrix} 0 & 0 & 1 \\ 0 & 1 & -12 \\ 1 & -18 & 144 \end{bmatrix}$$

6) 计算反馈增益向量:

$$k = \bar{k}P = \begin{bmatrix} -14 & 186 & -1220 \end{bmatrix}$$





二 多输入系统的状态反馈极点配置

1 直接法

循环矩阵定义：矩阵A的特征多项式等于其最小多项式

循环矩阵性质：

- ◆ 当且仅当A的约当标准型中相应于每个不同的特征值仅有一个约当小块时，A为循环矩阵。
- ◆ 若A的n个特征值两两互异，则A为循环矩阵；
- ◆ 若A为循环矩阵，则至少存在一个n维列向量b，使 $\{A, b\}$ 可控

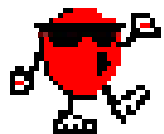


循环矩阵相关定理:

定理1: 若系统 $\{A, B\}$ 完全能控, 且 A 为循环矩阵, 则几乎对任意的实向量 $\rho_{p \times 1}$, 单输入系统 $\{A, B\rho\}$ 状态完全能控.

定理2: 若 A 不是循环矩阵, 且系统 $\{A, B\}$ 完全能控, 则几乎对任意的矩阵 $K_{p \times n}$, $A-BK$ 的全部特征值均不相同, 因而 $A-BK$ 是循环矩阵。

定理3: 对 n 阶多输入线性定常系统, 通过状态反馈, 实现系统全部 n 个极点任意配置的充要条件是系统状态完全能控。



多输入系统极点配置算法[直接法]

第1步：判断矩阵 A 是否为循环矩阵

若不是，则引入一状态反馈 $u = w - K_1 x$

使得系统 $\dot{x} = (A - BK_1)x + Bw$ 的系统矩阵 $A - BK_1$ 为循环矩阵，即

$$\overline{A} = \begin{cases} A - BK_1 & \text{若 } A \text{ 不是循环矩阵} \\ A & \text{若 } A \text{ 是循环矩阵} \end{cases}$$

第2步：对循环矩阵 \overline{A} ，适当选取实常向量 $\rho_{p \times 1}$ ，

令： $b_{n \times 1} = B_{n \times p} \rho_{p \times 1}$ ，使 $\{\overline{A}, b\}$ 为状态完全能控。



第3步: 对于等价单输入系统 $\{\bar{A}, b\}$, 利用单输入极点配置问题的算法, 求出状态增益向量 $k_{1 \times n}$

第4步: 当A为循环矩阵时, 所求的增益矩阵为:

$$K_{p \times n} = \rho_{p \times 1} \cdot k_{1 \times n}$$

当A为非循环矩阵时, 所求的增益矩阵为:

$$K_{p \times n} = \rho_{p \times 1} \cdot k_{1 \times n} + K_1$$





2 李亚普诺夫方程法

给定完全能控的多输入线性定常系统

$$\dot{\mathbf{x}} = \mathbf{A} \mathbf{x} + \mathbf{B} \mathbf{u}$$

$$\mathbf{y} = \mathbf{C} \mathbf{x} + \mathbf{D} \mathbf{u}$$

和一组任意的期望闭环特征值 $\lambda_1^*, \lambda_2^*, \dots, \lambda_n^*$ ，要求通过状态反馈 $\mathbf{u} = \mathbf{v} - \mathbf{K} \mathbf{x}$ ，使闭环系统的特征值 $\lambda_i(\mathbf{A} - \mathbf{B}\mathbf{K}) = \lambda_i^*, i = 1, 2, \dots, n$ 。同时要求：

$$\lambda_i(\mathbf{A}) \neq \lambda_i^*, i = 1, 2, \dots, n$$





第1步：任选 $n \times n$ 矩阵 F ，要求 F 的特征值为期望的特征值。 $\lambda_i(F) = \lambda_i^*, i = 1, 2, \dots, n$

第2步：选取一个 $p \times n$ 实常值矩阵 \bar{K} ，使 $\{F, \bar{K}\}$ 为状态完全能观。

第3步：对给定矩阵 A ， B ， F 和 \bar{K} ，解李亚普诺夫方程： $AT - TF = B\bar{K}$
确定出唯一 $n \times n$ 的解矩阵 T 。





第4步：若 T 为非奇异的，则所确定的状态

反馈矩阵 K 为： $K = \bar{K}T^{-1}$

若 T 为奇异矩阵，则返回步骤2重新选择 \bar{K} 。





3 能控规范形法

给定完全能控的多输入线性定常系统

$$\dot{\mathbf{x}} = \mathbf{A} \mathbf{x} + \mathbf{B} \mathbf{u}$$

$$\mathbf{y} = \mathbf{C} \mathbf{x} + \mathbf{D} \mathbf{u}$$

和一组任意的期望闭环特征值 $\lambda_1^*, \lambda_2^*, \dots, \lambda_n^*$,
要求通过状态反馈 $\mathbf{u} = \mathbf{v} - \mathbf{K} \mathbf{x}$, 使闭环系统
的特征值

$$\lambda_i(\mathbf{A} - \mathbf{B}\mathbf{K}) = \lambda_i^*, i = 1, 2, \dots, n$$



以 $n=9$, $p=3$ 为例。





第1步：将系统 $\{A, B\}$ 化为龙伯格能控规范形。

$$\bar{A} = S^{-1}AS = \begin{bmatrix} 0 & 1 & 0 & 0 & 0 & 0 & 0 & 0 & 0 & 0 \\ 0 & 0 & 1 & 0 & 0 & 0 & 0 & 0 & 0 & 0 \\ -\alpha_{10} & -\alpha_{11} & -\alpha_{12} & \beta_{14} & \beta_{15} & \beta_{16} & \beta_{17} & \beta_{18} & \beta_{19} & \\ 0 & 0 & 0 & 0 & 1 & 0 & 0 & 0 & 0 & 0 \\ \beta_{21} & \beta_{22} & \beta_{23} & -\alpha_{20} & -\alpha_{21} & \beta_{26} & \beta_{27} & \beta_{28} & \beta_{29} & \\ 0 & 0 & 0 & 0 & 0 & 0 & 1 & 0 & 0 & 0 \\ 0 & 0 & 0 & 0 & 0 & 0 & 0 & 1 & 0 & 0 \\ 0 & 0 & 0 & 0 & 0 & 0 & 0 & 0 & 0 & 1 \\ \beta_{31} & \beta_{32} & \beta_{33} & -\beta_{34} & -\beta_{35} & -\alpha_{30} & -\alpha_{31} & -\alpha_{32} & -\alpha_{33} & \end{bmatrix}$$



$$\bar{B} = S^{-1}B = \begin{bmatrix} 0 & 0 & 0 \\ 0 & 0 & 0 \\ 1 & \gamma & 0 \\ 0 & 0 & 0 \\ 0 & 1 & 0 \\ 0 & 0 & 0 \\ 0 & 0 & 0 \\ 0 & 0 & 1 \end{bmatrix}$$



第2步: 将期望的闭环特征值，按龙伯格能控规范形中 \bar{A} 的对角块个数和维数，分组，并计算每组对应多项式。





第3步: 对龙伯格能控规范形 $\{\bar{A}, \bar{B}\}$, 按如下形式选取 $p \times n$ 状态反馈矩阵 \bar{K} 。

$$\bar{K} = \begin{bmatrix} \alpha_{10}^* - \alpha_{10} & \alpha_{11}^* - \alpha_{11} & \alpha_{12}^* - \alpha_{12} & \beta_{14} - \gamma(\alpha_{20}^* - \alpha_{20}) & \beta_{15} - \gamma(\alpha_{21}^* - \alpha_{21}) & \beta_{16} - \gamma\beta_{26} & \beta_{17} - \gamma\beta_{27} & \beta_{18} - \gamma\beta_{28} & \beta_{19} - \gamma\beta_{29} \\ 0 & 0 & 0 & \alpha_{20}^* - \alpha_{20} & \alpha_{21}^* - \alpha_{21} & \beta_{26} & \beta_{27} & \beta_{28} & \beta_{29} \\ 0 & 0 & 0 & 0 & 0 & \alpha_{30}^* - \alpha_{30} & \alpha_{31}^* - \alpha_{31} & \alpha_{32}^* - \alpha_{32} & \alpha_{33}^* - \alpha_{33} \end{bmatrix}$$

第4步: 计算所求状态反馈增益矩阵 K 。

$$K = \bar{K}S^{-1}$$



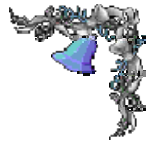


三 状态反馈对传递函数矩阵的影响

1 单输入单输出线性定常系统

结论: 对状态完全能控的单输入单输出系统, 引入状态反馈后, 闭环系统传递函数的零点不发生改变, 极点可能发生改变。





2 多输入多输出线性定常系统

$G(s)$ 的零点: 对既能控又能观的系统, 满足

$$\text{rank} \begin{bmatrix} sI - A & B \\ -C & 0 \end{bmatrix} < n + \min(p, q)$$

的所有 s 的值。

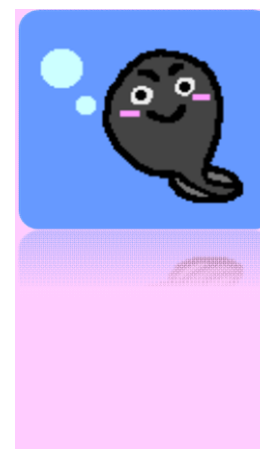
结论: 对状态完全能控的多输入多输出线性定常系统, 状态反馈在配置传递函数矩阵全部 n 个极点的同时, 一般不影响 $G(s)$ 的零点。





6.3 全维状态观测器

- 问题的提出
- 全维状态观测器
 - ✓ 观测器的结构形式
 - ✓ 观测器的存在条件
 - ✓ 观测器综合算法



一、问题的提出

n 维的线性定常系统

$$\dot{x} = Ax + Bu \quad x(0) = x_0$$

$$y = Cx$$

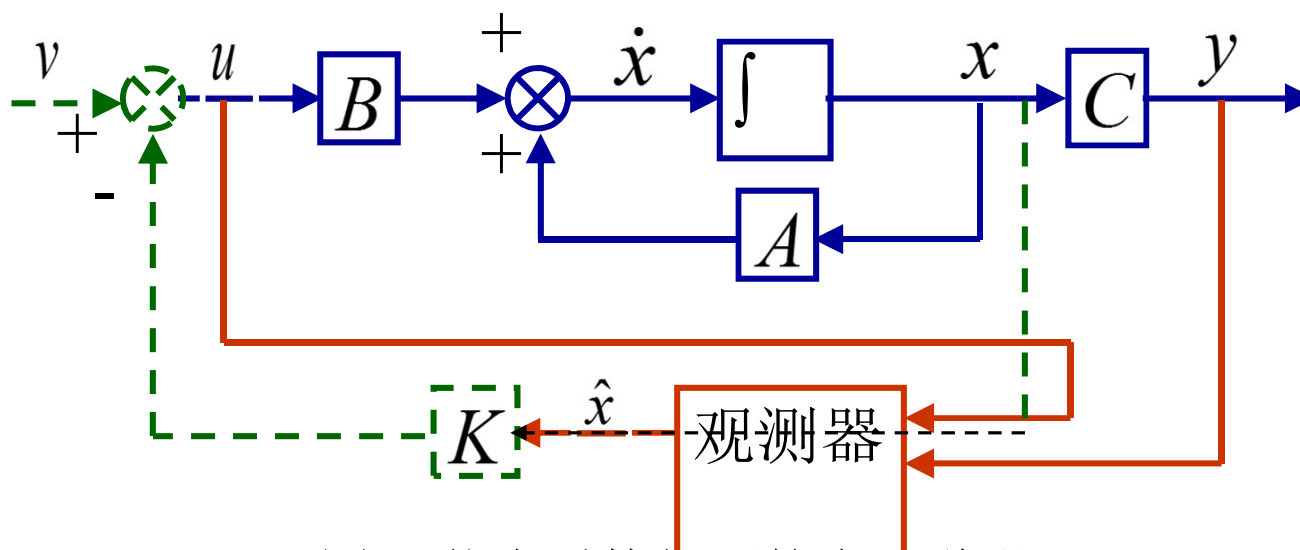


图1 状态重构问题的直观说明

图1 加入状态反馈后的系统结构图

状态观测器：输出 $\hat{x}(t)$ 渐进等价于原系统状态 $x(t)$ 的观测器，即以

$$\lim_{t \rightarrow \infty} \hat{x}(t) = \lim_{t \rightarrow \infty} x(t)$$

为性能指标综合得到的观测器。

状态观测器

全维状态观测器：重构状态向量的维数等于被控对象状态向量的维数。

降维状态观测器：重构状态向量的维数小于被控对象状态向量的维数



二、全维状态观测器

1、观测器的结构形式

考虑n维线性时不变系统

$$\begin{aligned}\dot{x} &= Ax + Bu & x(0) &= x_0 \\ y &= Cx & t &\geq 0\end{aligned}$$

要求观测器系统的输出满足如下关系：

$$\lim_{t \rightarrow \infty} \hat{x}(t) = \lim_{t \rightarrow \infty} x(t)$$



1) 开环观测器

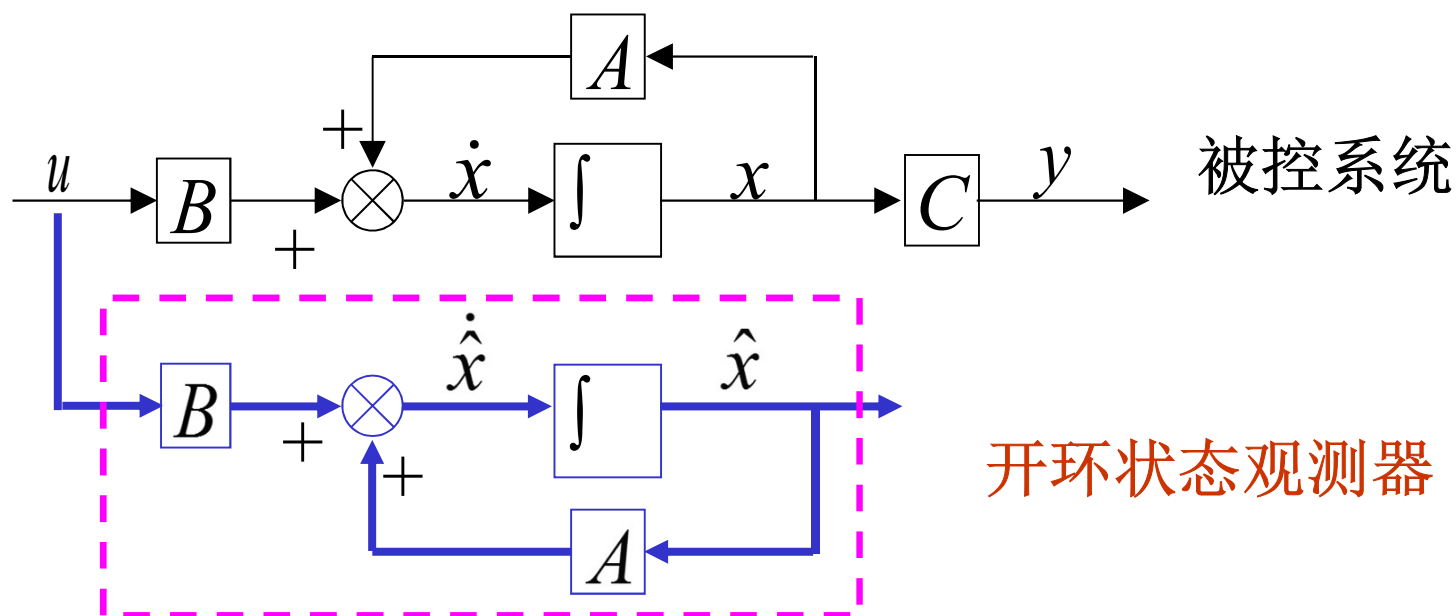


图2 开环状态观测器

开环观测器的状态方程为：

$$\dot{\hat{x}} = A \hat{x} + B u \quad \hat{x}(0) = \hat{x}_0 \quad t \geq 0$$

式中： \hat{x} 是被控对象状态向量 x 的估计值。

2) 全维状态观测器

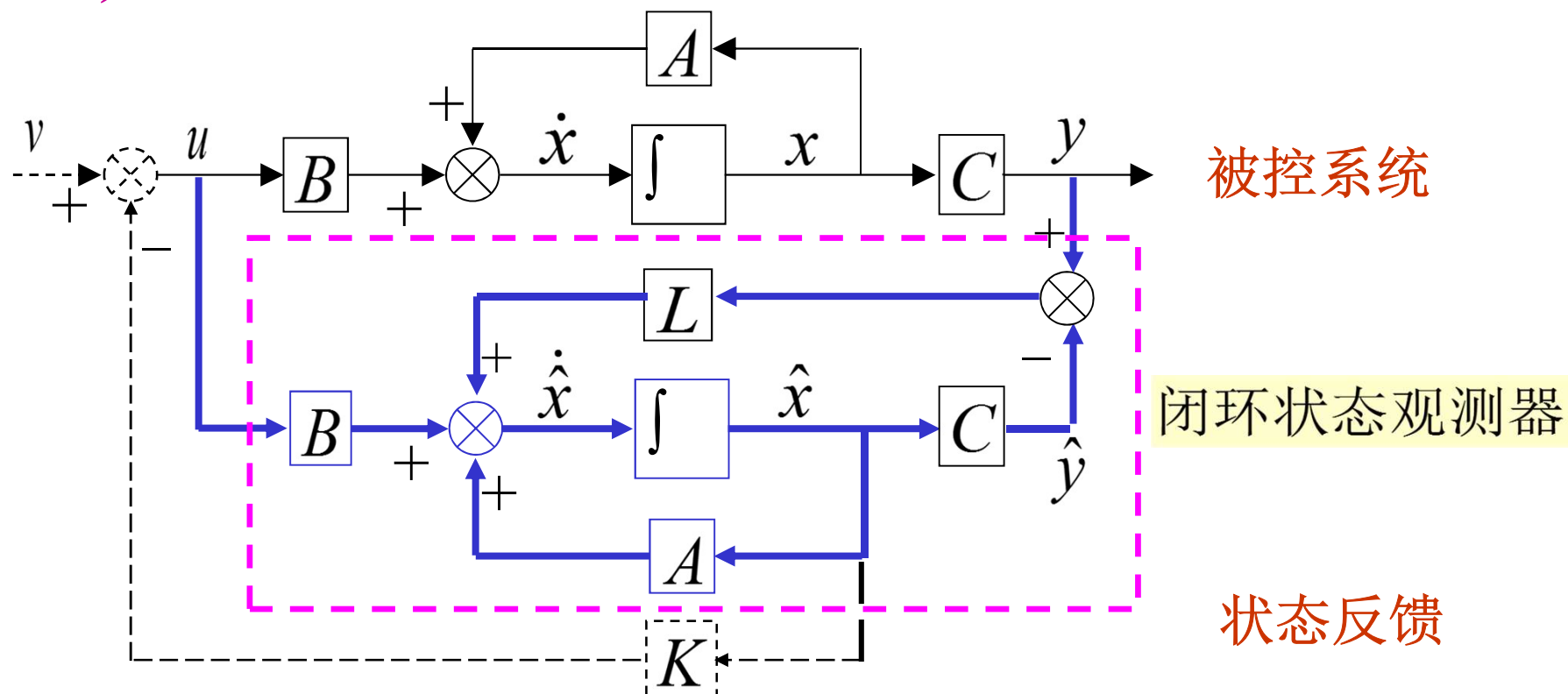


图3 全维状态观测器

全维状态观测器状态空间描述为:

$$\begin{aligned} \dot{\hat{x}} &= A\hat{x} + Bu + L(v - \hat{y}) & \hat{x}(0) &= \hat{x}_0 \\ \hat{y} &= C\hat{x} \end{aligned} \quad (3)$$

观测器输出反馈阵

(3)式可改写为:

$$\dot{\hat{x}} = (A - LC)\hat{x} + Bu + Ly \quad \hat{x}(0) = \hat{x}_0 \quad (4)$$

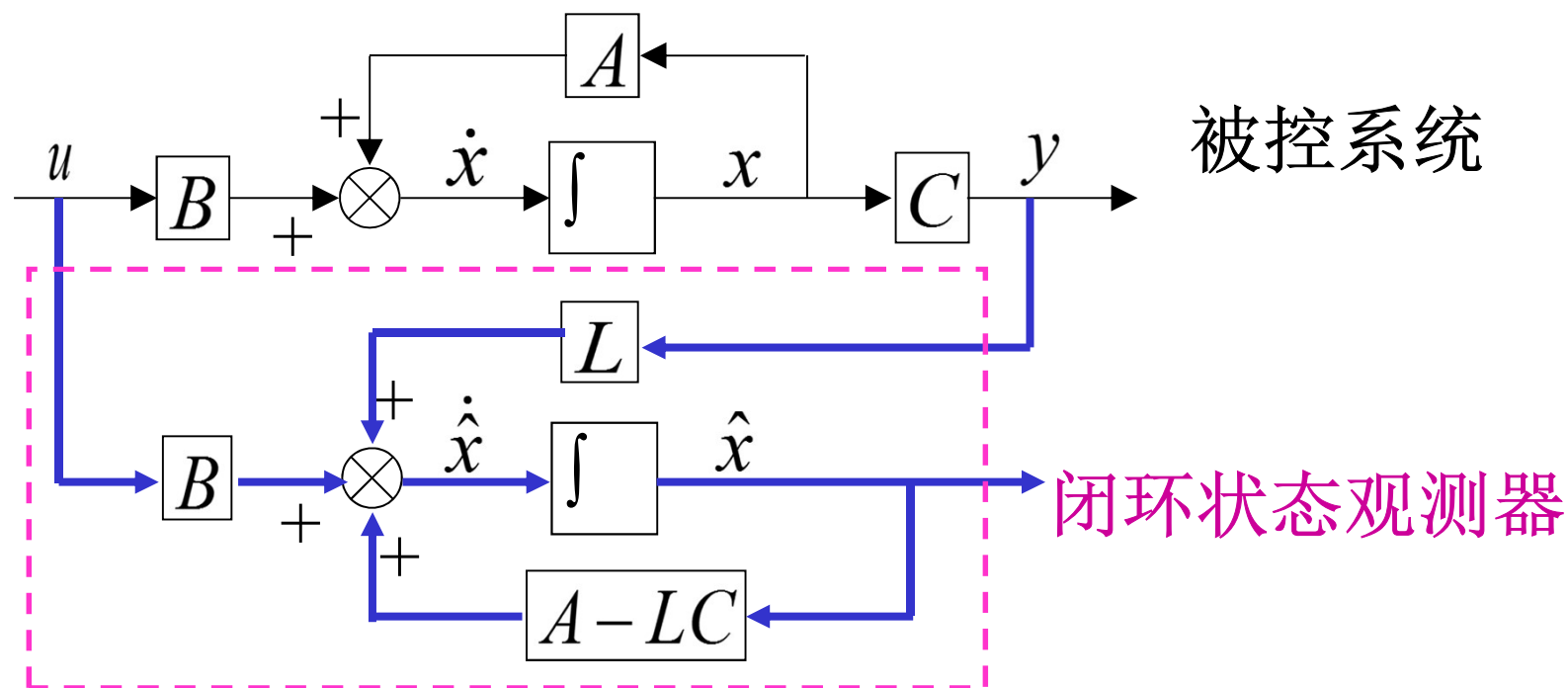


图4 全维状态观测器



2、观测器的存在条件

状态观测器分析设计的关键问题是能否在任何初始条件下，即尽管 \hat{x}_0 与 x_0 不同，但总能保证

$$\lim_{t \rightarrow \infty} \hat{x}(t) = \lim_{t \rightarrow \infty} x(t) \quad (2)$$

成立。只有满足上式，状态反馈系统才能正常工作，

$$\dot{\hat{x}} = A\hat{x} + Bu + L(y - \hat{y}) \quad \hat{x}(0) = \hat{x}_0 \quad (3)$$

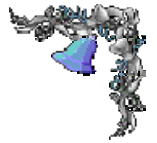
或

$$\dot{\hat{x}} = (A - LC)\hat{x} + Bu + Ly \quad \hat{x}(0) = \hat{x}_0 \quad (4)$$

所示系统才能作为实际的状态观测器。

那么，如何通过选取 L ，使得由式(3)或(4)反映的观测器能满足式(2)呢？





观测器的存在条件（即观测器任意极点配置的条件）

定理：若被控系统 (A, C) 可观测，则必可采用

$$\dot{\hat{x}} = (A - LC)\hat{x} + Bu + Ly \quad \hat{x}(0) = \hat{x}_0$$

所示的全维状态观测器来重构其状态，并且必可通过选择增益阵 L 而任意配置 $(A - LC)$ 的全部特征值。





证：利用对偶原理，系统 (A, B, C) 可观测意味着其对偶系统 (A^T, C^T, B^T) 可控。由极点配置的结论：利用状态反馈任意配置闭环极点的充要条件是被控系统可控。所以对于可控系统 (A^T, C^T, B^T) 来说，对于任意给定的 n 个特征值，必可以找到一个状态反馈增益阵 L^T ，使反馈后的系统特征值等于指定的特征值 $\lambda_1^*, \lambda_2^*, \dots, \lambda_n^*$ ，即使下式成立：

$$\det(sI - A^T + C^T L^T) = \alpha^*(s) \quad (5)$$

其中：

$$\begin{aligned} \alpha^*(s) &= (s - \lambda_1^*)(s - \lambda_2^*) \cdots (s - \lambda_n^*) \\ &= s^n + a_{n-1}^* s^{n-1} + \cdots + a_1^* s + a_0^* \end{aligned}$$





$$\alpha^*(s) = (s - \lambda_1^*)(s - \lambda_2^*) \cdots (s - \lambda_n^*) = s^n + a_{n-1}^* s^{n-1} + \cdots + a_1^* s + a_0^*$$

是由期望特征值所确定的闭环系统特征多项式。

由于矩阵的转置不改变矩阵的特征值，故

$$\det(sI - A + LC) = \alpha^*(s) \quad (6)$$

这就意味着 $(A-LC)$ 的特征值可由 L 任意配置。因此，只要给定的系统 (A, B, C) 可观测，必然可以通过选择增益阵 L 将 $(A-LC)$ 配置到特定的特征值上，从而使设计的全维状态观测器满足观测器存在条件，可以实际运用。





3、观测器综合算法

对于给定的 n 维被控系统

$$\dot{x} = Ax + Bu \quad x(0) = x_0 \quad t \geq 0$$

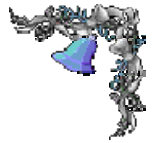
$$y = Cx$$

设系统 (A, B, C) 可观测，再对要设计的全维状态观测器给定一组期望的特征值： $\lambda_1^*, \lambda_2^*, \dots, \lambda_n^*$ ，设计全维状态观测器。

方法一：原理性算法

方法二：规范算法





方法一：原理性算法（※）

1) 计算期望的特征多项式

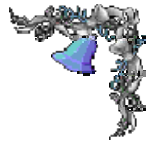
$$\begin{aligned}\alpha^*(s) &= (s - \lambda_1^*)(s - \lambda_2^*) \cdots (s - \lambda_n^*) \\ &= s^n + a_{n-1}^* s^{n-1} + \cdots + a_1^* s + a_0^*\end{aligned}$$

2) 设反馈增益阵 $l = [l_1 \quad l_2 \quad \cdots \quad l_n]^T$ ，用待定系数计算闭环观测系统特征多项式

$$\begin{aligned}\alpha(s) &= \det(sI - A + LC) \\ &= s^n + a_{n-1}s^{n-1} + \cdots + a_1s + a_0\end{aligned}$$

其中：系数 $\{a_i\}$ 中包含未知元素 $\{l_i\}$ 。





3) 求解下列 n 个方程, 计算出反馈矩阵 L 的元素

$$a_{n-1} = a_{n-1}^*, \quad \dots, \quad a_1 = a_1^*, \quad a_0 = a_0^*$$

4) 计算 $(A-LC)$, 则所要设计的全维状态观测器就为

$$\dot{\hat{x}} = (A-LC)\hat{x} + Bu + Ly$$

而 \hat{x} 即为 x 的估计状态。





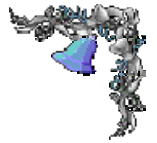
方法二：规范算法（※）

- 1) 导出被控系统 (A, B, C) 的对偶系统 (A^T, C^T, B^T) ;
- 2) 利用完全可控系统极点配置的规范算法, 计算系统 (A^T, C^T, B^T) 的反馈增益阵 L^T ;
- 3) 计算 $(A-LC)$, 则所要设计的全维状态观测器就为

$$\dot{\hat{x}} = (A-LC)\hat{x} + Bu + Ly$$

而 \hat{x} 即为 x 的估计状态。





例：给定系统

$$\dot{x} = \begin{bmatrix} 0 & 1 \\ 9 & 0 \end{bmatrix} x + \begin{bmatrix} 0 \\ -1 \end{bmatrix} u \quad y = \begin{bmatrix} 1 & 0 \end{bmatrix} x$$

观测器系统的特征值为： $\lambda_{1,2}^* = -10 \pm 10j$ ，
试构造全维状态观测器。

解：方法一

$$\text{rank} \begin{bmatrix} c \\ cA \end{bmatrix} = \text{rank} \begin{bmatrix} 1 & 0 \\ 0 & 1 \end{bmatrix} = 2$$

该系统可观测，可任意配置全维状态观测器的极点。

1) 期望特征多项式：

$$\alpha^*(s) = (s + 10 + 10j)(s + 10 - 10j) = s^2 + 20s + 200$$



2) 设增益阵 $L = [l_1 \quad l_2]^T$, 闭环观测系统特征多项式为

$$\alpha(s) = \det(sI - A + LC) = \begin{vmatrix} s + l_1 & -1 \\ l_2 - 9 & s \end{vmatrix} = s^2 + l_1 s + (l_2 - 9)$$

3) 得到方程组:

$$\begin{cases} l_1 = 20 \\ l_2 - 9 = 200 \end{cases} \Rightarrow \begin{cases} l_1 = 20 \\ l_2 = 209 \end{cases} \quad \therefore L = \begin{bmatrix} 20 \\ 209 \end{bmatrix}$$

4) 设计的全维状态观测器为:

$$\begin{aligned} \dot{\hat{x}} &= (A - Lc)\hat{x} + bu + Ly \\ &= \left(\begin{bmatrix} 0 & 1 \\ 9 & 0 \end{bmatrix} - \begin{bmatrix} 20 \\ 209 \end{bmatrix} \cdot [1 \quad 0] \right) \hat{x} + \begin{bmatrix} 0 \\ -1 \end{bmatrix} u + \begin{bmatrix} 20 \\ 209 \end{bmatrix} y \\ &= \begin{bmatrix} -20 & 1 \\ -200 & 0 \end{bmatrix} \hat{x} + \begin{bmatrix} 0 \\ -1 \end{bmatrix} u + \begin{bmatrix} 20 \\ 209 \end{bmatrix} y \end{aligned}$$

方法二:

$$1) \because \text{rank} \begin{bmatrix} c \\ cA \end{bmatrix} = \text{rank} \begin{bmatrix} 1 & 0 \\ 0 & 1 \end{bmatrix} = 2, \text{ 该系统可观测,}$$

\therefore 其对偶系统 (A^T, c^T, b^T) 完全可控, 故可以任意配置极点

2) 用系统极点配置的规范算法, 计算反馈增益阵 L^T

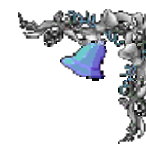
① 观测器期望特征多项式:

$$\alpha^*(s) = (s + 10 + 10j)(s + 10 - 10j) = s^2 + 20s + 200$$

② 可控系统 (A^T, c^T, b^T) 的特征多项式:

$$\alpha(s) = \det(sI - A^T) = \det(sI - A) = \begin{vmatrix} s & -1 \\ -9 & s \end{vmatrix} = s^2 - 9$$

③ 计算 \bar{k} : $\bar{k} = [a_0^* - a_0 \quad a_1^* - a_1] = [209 \quad 20]$



④ 变换矩阵 P^{-1} :

$$P^{-1} = \begin{bmatrix} c^T & A^T c^T \end{bmatrix} \cdot \begin{bmatrix} a_1 & 1 \\ 1 & 0 \end{bmatrix} = \begin{bmatrix} 1 & 0 \\ 0 & 1 \end{bmatrix} \cdot \begin{bmatrix} 0 & 1 \\ 1 & 0 \end{bmatrix} = \begin{bmatrix} 0 & 1 \\ 1 & 0 \end{bmatrix}$$

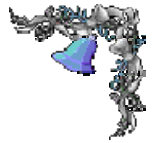
⑤ 系统 (A^T, c^T, b^T) 的反馈增益矩阵 L^T :

$$L^T = \bar{K}P = \begin{bmatrix} 209 & 20 \end{bmatrix} \cdot \begin{bmatrix} 0 & 1 \\ 1 & 0 \end{bmatrix} = \begin{bmatrix} 20 & 209 \end{bmatrix}$$

3) $L = \begin{bmatrix} 20 \\ 209 \end{bmatrix}$ 设计的全维状态观测器为

$$\begin{aligned} \dot{\hat{x}} &= (A - Lc)\hat{x} + bu + Ly \\ &= \begin{bmatrix} -20 & 1 \\ -200 & 0 \end{bmatrix} \hat{x} + \begin{bmatrix} 0 \\ -1 \end{bmatrix} u + \begin{bmatrix} 20 \\ 209 \end{bmatrix} y \end{aligned}$$





三 分离特性

现在要讨论的是用全维状态观测器提供的估计状态 \hat{x} 代替真实状态 x 来实现状态反馈，其闭环特性与利用真实状态进行反馈的情况会有什么区别？

当观测器被引入系统以后，状态反馈系统部分是否会改变已经设计好的观测器的闭环极点配置，观测器输出反馈阵 L 是否需要重新设计？





考虑 n 维的线性定常系统

$$\dot{x} = Ax + Bu \quad y = Cx$$

假设系统是可观测的，则可设计全维状态观测器

$$\dot{\hat{x}} = (A - LC)\hat{x} + Bu + Ly$$

得到真实状态 x 的估计值 \hat{x} ，引入状态反馈

$$u = v - K\hat{x}$$

此时状态反馈子系统的状态空间描述为：

$$\begin{aligned}\dot{x} &= Ax + Bu = Ax + B(v - K\hat{x}) = Ax - BK\hat{x} + Bv \\ y &= Cx\end{aligned}$$

全维状态观测器的状态空间描述为：

$$\begin{aligned}\dot{\hat{x}} &= (A - LC)\hat{x} + Bu + Ly = (A - LC)\hat{x} + B(v - K\hat{x}) + LCx \\ &= (A - BK - LC)\hat{x} + LCx + Bv\end{aligned}$$

故组合系统的状态空间描述为：

$$\begin{bmatrix} \dot{x} \\ \dot{\hat{x}} \end{bmatrix} = \begin{bmatrix} A & -BK \\ LC & A - BK - LC \end{bmatrix} \begin{bmatrix} x \\ \hat{x} \end{bmatrix} + \begin{bmatrix} B \\ B \end{bmatrix} v$$
$$y = \begin{bmatrix} C & 0 \end{bmatrix} \begin{bmatrix} x \\ \hat{x} \end{bmatrix}$$



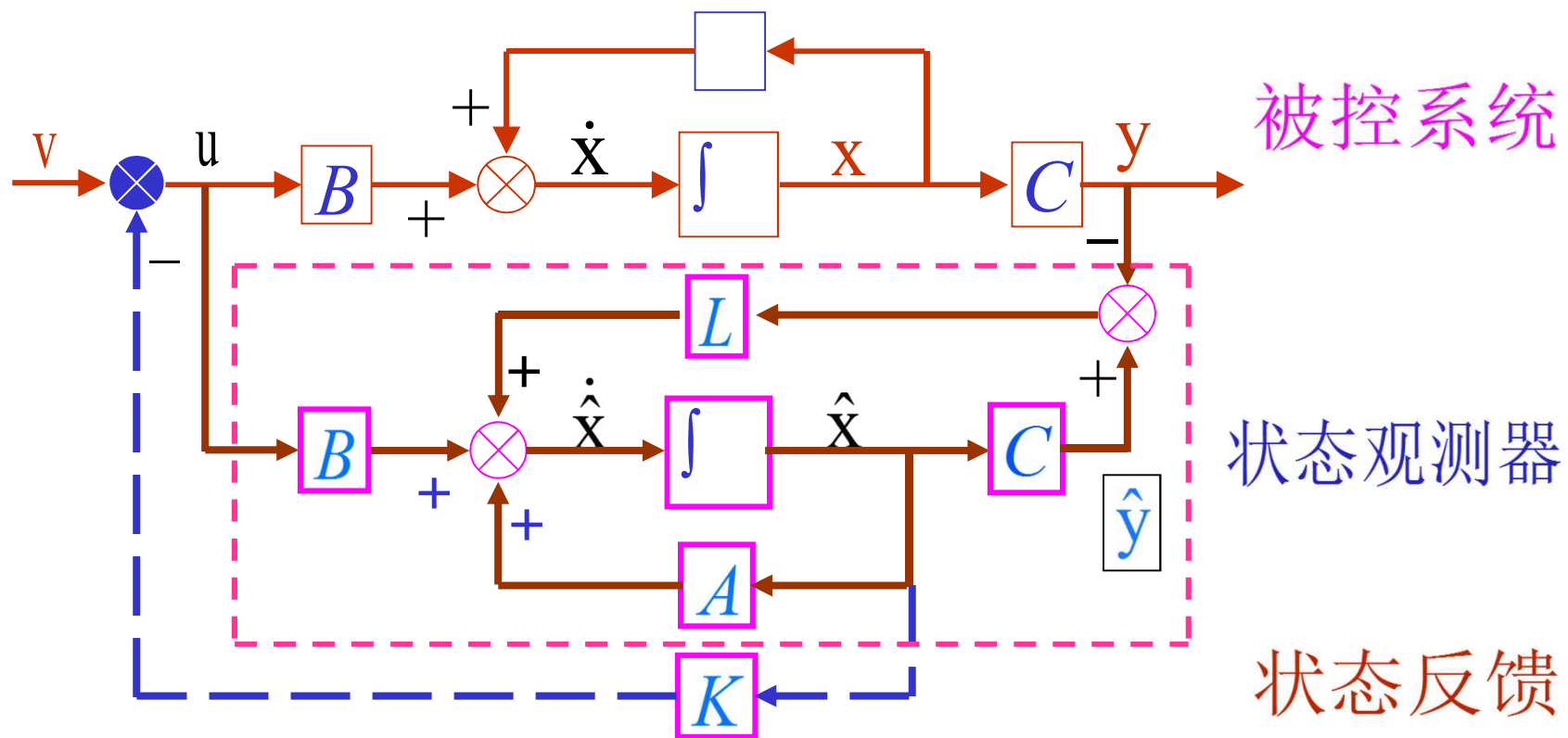
由此可见，引入全维状态观测器的状态反馈系统，其维数为被控系统和观测器系统的维数之和（ $2n$ 维）。

还可证明组合系统特征多项式为：

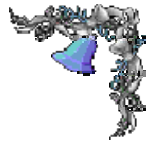
$$\begin{aligned} \alpha(s) &= \det \begin{pmatrix} sI - (A - BK) & BK \\ 0 & sI - (A - LC) \end{pmatrix} \\ &= \det(sI - A + BK) \cdot \det(sI - A + LC) \end{aligned}$$

组合系统的特征多项式为：

$$\alpha_k(s) = \det(sI - A + BK) \bullet \det(sI - A + LC)$$



含有全维状态观测器的状态反馈系统



分离定理: 若被控系统 $\{A, B, C\}$ 完全可控且完全可观，利用状态观测器的状态估计值实现状态反馈控制系统时，状态反馈矩阵 K 的设计和观测器中输出反馈矩阵 L 的设计可以独立进行。





四. 降维状态观测器

考虑n维线性时不变系统

$$\begin{aligned}\dot{\mathbf{x}} &= \mathbf{A} \mathbf{x} + \mathbf{B} \mathbf{u} & \mathbf{x}(0) &= \mathbf{x}_0 \\ \mathbf{y} &= \mathbf{C} \mathbf{x} & t &\geq 0\end{aligned}$$

假定系统完全能观，且C满秩，即 $\text{rank } \mathbf{C} = q$
则该系统的降维状态观测器的最小维数为 $n-q$.





降维状态观测器综合算法

1) 构造降维状态观测器的变换矩阵

$$P_{n \times n} = \begin{bmatrix} C \\ R \end{bmatrix} \quad Q = P^{-1} = \begin{bmatrix} Q_1 & Q_2 \end{bmatrix}$$

其中，R为任选的使P为非奇异的 $(n-q) \times n$ 维常值矩阵

2) 对被观测系统引入线性非奇异变换 $\bar{x} = Px$

$$\begin{bmatrix} \dot{\bar{x}}_1 \\ \dot{\bar{x}}_2 \end{bmatrix} = \begin{bmatrix} \bar{A}_{11} & \bar{A}_{12} \\ \bar{A}_{21} & \bar{A}_{22} \end{bmatrix} \begin{bmatrix} \bar{x}_1 \\ \bar{x}_2 \end{bmatrix} + \begin{bmatrix} \bar{B}_1 \\ \bar{B}_2 \end{bmatrix} u$$

$$y = \bar{x}_1$$





3) 状态向量 $\bar{\mathbf{x}}_2$ 对应子系统的状态空间描述

$$\dot{\bar{\mathbf{x}}}_2 = \bar{\mathbf{A}}_{22}\bar{\mathbf{x}}_2 + \bar{\mathbf{u}}$$

$$\omega = \bar{\mathbf{A}}_{12}\bar{\mathbf{x}}_2$$

该子系统能观测的充要条件是 $\{A, C\}$ 能观测。

4) 构造 $\bar{\mathbf{x}}_2$ 的全维 $(n-q)$ 状态观测器

$$\begin{aligned}\dot{\mathbf{z}} = & (\bar{\mathbf{A}}_{22} - \bar{\mathbf{L}}\bar{\mathbf{A}}_{12})\mathbf{z} + [(\bar{\mathbf{A}}_{22} - \bar{\mathbf{L}}\bar{\mathbf{A}}_{12})\bar{\mathbf{L}} + (\bar{\mathbf{A}}_{21} - \bar{\mathbf{L}}\bar{\mathbf{A}}_{11})]\mathbf{y} \\ & + (\bar{\mathbf{B}}_2 - \bar{\mathbf{L}}\bar{\mathbf{B}}_1)\mathbf{u}\end{aligned}$$

其中 \mathbf{L} 为反馈增益矩阵。

5) 被观测系统的重构状态为 $\hat{\mathbf{x}} = \mathbf{Q}_1\mathbf{y} + \mathbf{Q}_2(\mathbf{z} + \bar{\mathbf{L}}\mathbf{y})$

